

アクリシヨン現象 の解析

京大・工 數 下 信

§1 アクリシヨンとは

アクリシヨン (Accretion) は英語辞典によれば、物体が周囲にある物質を吸着して増大するとしてある。日本語では附着増大と訳されているが、アクリシヨンという言葉の方が使い易いので、そのまま用いることにする。

アクリシヨン現象は最初 Hoyle & Lyttleton (1939) によって議論された。当時星間ガスについては、殆んど何も知られていなかつたが、星間ガスの中と太陽が通過したときに、どのようなことが起るかと彼らは議論したのである。その基本的な現象のもう一方はつぎのようである。

密度 ρ_0 の気体中を質量 M の星が相対速度 V_∞ で通り抜ける。星への衝突で、気体分子同士の衝突が起こる (図 1 参照)。このとき、星、運動に垂直な方向の運動量は互いに相殺するから、結果として \pm 方向の運動量だけが残る。衝突前の気体分子の運動は双曲線であると仮定すれば、衝突直前の \pm 方向

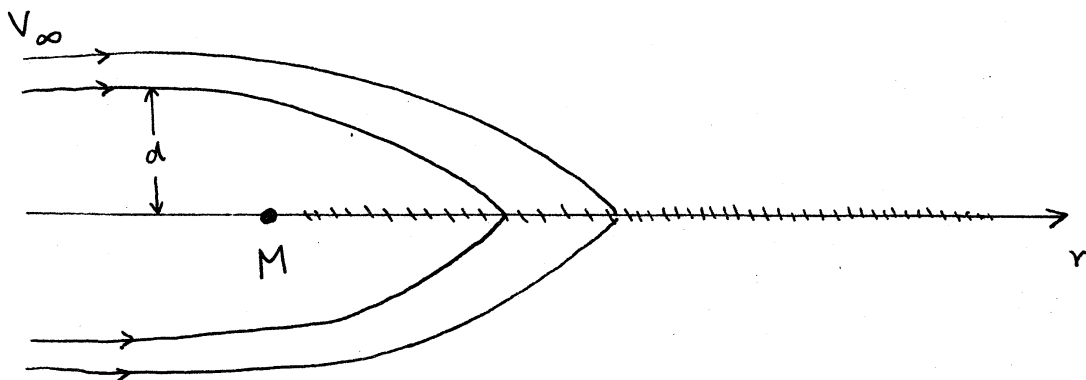


図 1.

の速度成分は、 $v_{\infty} \cos \theta = 3V_{\infty}$ であることが容易にわかる。
したがって、衝突の角度は最初の距離 r の $\frac{1}{3}$ である。不等式

$$\frac{1}{2} V_{\infty}^2 < \frac{GM}{r} \quad (1.1)$$

であれば、引力によって分子は M に引かれて吸収されるに至る。
これが Hoyle と Lyttleton の提唱したアクリレーションの機構である。まことに、不等式が成り立つ r の値に対応する d の値を計算してみると、それが質量 M の増大による割合を与えるからである。前述の量は $r \times V_{\infty}$ であり、それは衝突前よりは保存されるから、

$$V_{\infty} d = r V_{\infty} \therefore r = d = \left(\frac{2GM}{V_{\infty}^2} \right) \quad (1.2)$$

この d の値よりも小さな d をもつ分子はすべて M に吸収される。よって定常状態では

$$\frac{dM}{dt} = \pi d^2 V_{\infty} \rho_{\infty} = \pi \rho_{\infty} \left(\frac{2GM}{V_{\infty}^2} \right)^2 \quad (1.3)$$

が得られる。

いま式(1.3)が良き近似であるとして、 M の増加の割合を計算してみよう。 $M = M_\odot = 2 \times 10^{33} g$, $V_\infty = 10 km s^{-1}$, $\rho_\infty = 10^{-24} g \cdot cm^{-3}$ とすれば。

$$\frac{1}{M_\odot} \frac{dM}{dt} = 3 \times 10^{-15} year^{-1}.$$

したがって太陽は、 10^9 年にわたってアカリションが続いても、 M の変化は遅々としていることである。しかし、 $V_\infty = 1 km s^{-1}$, $\rho_\infty = 10^{-21} g \cdot cm^{-3}$ とすると、左の値は $3 \times 10^{-9} year^{-1}$ となる。 10^9 年以内、アカリの効果が現れることがわかる。

左の図はアカリが太陽によって、星間ガスが太陽表面に落とされたときのエネルギー収支である。そのときにホテンシヤルエネルギー - 放熱エネルギー - が蓄積され、そのエネルギーは、一時的に太陽の発熱量が増加するところである。これが実は地表の氷河期と関連があると、Hoyle & Lyttleton は主張したものである。

§ 2 線アカリション

前節で紹介した非常に直観的な議論より一般的に定式化しようとしたのが Bondi & Hoyle (1944) の論文である。図 1 の斜線で示された密度の高い部分がアカリションである。アカリション・コラムと呼び、そのコラムは長さにして、半径

が十分に小さいものであるとする。すると山は、ヨウムの内部構造は問題としない事が多く、あたかも直線のようにアリシヨン流(ジェット流)ができる。これが Bondi & Hoxley の仮定である。彼等はこの外から気体圧力は無視し得るとして、問題の定式化を以下(圧力を考慮した議論については以下の節を参照)。

まず定常状態が実現されたとして、この仮定のもとに二つの保存則が成り立つ。一つは物質保存である。すなはち、ヨウムの単位長さ当たり、持ち込まえた気体の量は

$$A = \frac{2\pi \rho_\infty GM}{V_\infty} \quad (2.1)$$

である。よって質量保存則は

$$\frac{d}{dr}(m u) = A \quad (2.2)$$

と書く。ただし

$m(r)$: 真 r における物質の線密度,

$u(r)$: 真 r における速度。

(2.2) はたてたるに積分できること

$$m u = A (r - r_0) \quad (2.3)$$

である。 r_0 は積分定数であるが、 $r = r_0$ で $u = 0$ となるところから、 r_0 は止まり点(stagnation point)に対応する。

第2の保存則は運動量に関するものである。それは

$$\frac{d}{dr} (m u^2) = A V_\infty - \frac{GMm}{r^2} \quad (2.4)$$

と書ける。左辺第一項はアクリション・コラムに流入するガスの持つ運動量であり、第二項はMの引力である。この式は $m(r)$ が未知であるために、今のままで積合せられない。Mに流入する物質の割合は $m u$ の $r=0$ における値であるが、それは (2.3) 式 $-Ar_0 z^2 b^3$ である。

$$\frac{dM}{dt} = Ar_0$$

がアクリションの割合となる。したがって r_0 の値を定めることが重要なりであるが、この Bondi & Hoyle の理論の frame の中で、それを決定するには出来ない。そのためには、アクリション・コラム内部の圧力を考慮しなければならぬ。

さて

$$r = \frac{GM}{V_\infty^2} x, \quad u = V_\infty y, \quad r_0 = \frac{GM}{V_\infty^2} d, \quad \left. \right\}$$

$$m = A \cdot \frac{GM}{V_\infty^3} \cdot z, \quad \left. \right\}$$

によつて無次元化すれば、(2.3), (2.4) の両式はつきのようにならん。

$$yz = x - d \quad (2.5)$$

$$y \frac{dy}{dx} + \frac{1}{x^2} = \frac{y(1-y)}{x-d} \quad (2.6)$$

これが Bondi-Hoyle の採用した基礎方程式である。求める解は $x = \infty$ で $y = 0$ でなければならぬが、実はこの束は微分方程式の真性特異点なのである（アカリレーション流の中に圧力を考慮するところにより、この特異点は正則な特異点となる。4節参照）。

真性特異点であることをえらには、まず $\xi = x - d$ とおき、また y の高次の項を無視すれば、上の式は

$$\xi \frac{dy}{d\xi} = \frac{d^2y - \xi}{d^2y} + \dots$$

すなはち、 $\xi - d^2y = \xi \cdot \eta$ とおけば、

$$\xi^2 \frac{d\eta}{d\xi} = -d^2 \eta + \text{高次項}$$

すなはち、高次項を無視しておき、近似解は $\eta = D \exp(d^2/\xi)$ である、ただし D は積分の定数。よって

$$y = \frac{\xi}{d^2} (1 - \eta) + \dots$$

すなはち $\xi = 0$ ($x = \infty$) で真性特異点となる。

Bondi & Hoyle はこの特異性に何ら注意せずに、 η を直す、 $x \rightarrow \infty$ のとき $y \rightarrow 1$ となる解を求めたのである。この \rightarrow が図 2 に fast solution と示されているものである。

§ 3 Bondi-Hoyle 式の解の漸近挙動

Bondi & Hoyle が $x \rightarrow \infty$, $y \rightarrow 1$ となる解を求めたのは、

そのなりの理由がある。 $x \rightarrow \infty$ ((たゞ $\gamma \rightarrow \infty$) では、

星の影響が 0 となると直観的に考へらるからである。

しかし Lyttleton (1972) は別の挙動とする解を見出した。

實際に (2.6) 式で

$$y = y_0 + \frac{y_1}{x} + \frac{y_2}{x^2} + \dots \quad (3.1)$$

とおして、未定係数 y_0, y_1, y_2, \dots の値を定めていくと、

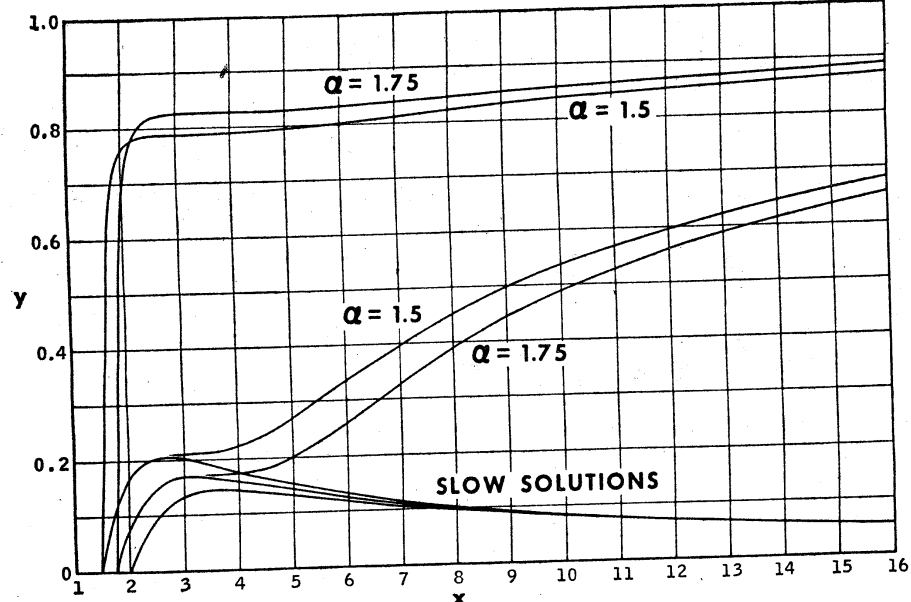


FIG. 1. The slow solution of $y(dy/dx) + 1/x^2 = y(1-y)/(x-\alpha)$ for the cases $\alpha = 1.5, 1.75$, and 2.0 compared with limiting Bondi-Hoyle solutions.

図 2

可能性 $\gamma_0 = 1$, $\gamma_0 = 0$ があるのがある。第一の可能性を, Lyttleton は fast solution と名付け, 第二の可能性を slow solution と名付けた。ハグホーも図 2 に示されてゐるが、それと同時に、微分方程式 (2.6) を数値積分して得られたものである。

§ 4 壓力の効果

さて Bondi-Hoyle 理論にせよ、あるいは Lyttleton の slow solution にせよ、それらはアクリレヨン・コラム中の気体圧力を無視していい。これは物理的には、気体が絶対零度にあることを意味する。しかし現実には、川水に星間ガスが水素分子などまでまざり、この結果冷却効果が良いといつても、その温度が0°Kに保たれるわけがない。それでコラムの中では圧力の効果を考慮する。しかしコラムに到達する時は、流れのマッハ数 M が大きいので ($10 \sim 100$), ニュートン近似を採用する。そうすればエネルギーの保存を表すベルヌーイの式は、 γ を比熱比として

$$\frac{u^2}{2} + \frac{\gamma}{\gamma-1} \cdot \frac{f}{m} - \frac{GM}{r} = \frac{1}{2} V_\infty^2 \quad (4.1)$$

ただし、 f はコラムの断面に作用する圧力 ($f = \pi s^2$ (s はコラムの半径) である。他方、運動量保存の式は

$$\frac{d}{dr} (mu^2) = AV_\infty - \frac{GMm}{r^2} - \frac{df}{dr} \quad (4.2)$$

これを 3. として $f = AV_\infty \gamma_0 w$ とおいた、無次元化すれば、

$$\left. \begin{aligned} y \frac{dy}{dx} + \frac{1}{x^2} &= \frac{y(1-y)}{x-d} - \frac{dy}{x-d} \frac{dw}{dx} \\ y^2 &= 1 + \frac{2}{x} - \frac{2d\gamma}{\gamma-1} \cdot \frac{w}{z} \end{aligned} \right\} \quad (4.3)$$

これを 3. w を消去すれば、

$$\begin{aligned} A(x, y) \frac{dy}{dx} &= B(x, y) \\ A(x, y) &\equiv y^2 - \frac{\gamma-1}{2\gamma} y^2 - \frac{\gamma-1}{2\gamma} \left(1 + \frac{2}{x}\right) \\ B(x, y) &\equiv -\frac{y}{x^2} + \frac{y^2(1-y)}{x-d} + \frac{\gamma-1}{2\gamma} \left[\frac{y^2}{x-d} - \frac{y}{x-d} \left(1 + \frac{2}{x}\right) \right. \\ &\quad \left. + \frac{2y}{x^2} \right]. \end{aligned} \quad (4.4)$$

不得たり。

$x = 3$ で、 $x = d$ 、 $y = 0$ は (4.4) の結節点となる。これを 3. とし、 $x-d$ 、 y がともに 1 次微小量と仮定して、高次項を無視すれば、

$$\frac{dy}{dx} = \frac{y}{x-d}, \quad \gamma > 1$$

これを 3. から取り除く。以下が 2.、解を定めると $x = d, y = 0$ における微係数を求める必要がある。

§ 5 Sonic transition

さて、アカリレーション・コラム中の音速 c は $c^2 = \gamma f/m$ で与えられるから、 $\gamma = 2$ のヌッハ数 M は

$$\tilde{M}^2 = \frac{u^2}{u_{\text{sound}}^2} = V_\infty^2 y^2 / (\gamma f/m) = 2y^2 [(R-1)(1-y^2 + 2/x)]^{-1} \quad (5.1)$$

もし y がよどみ点の近く ($|2|y| \ll 1$) であるから、 $\tilde{M} \approx 0$ 。

他方、もし $x \rightarrow \infty$ で $y \rightarrow 1$ となる解が存在するところれば、それは $M \rightarrow \infty$ となる。したがって、そのような流れは、流れのどこかに超音速を持たねばならぬ。実際 $\tilde{M}^2 > 1$ は $A(x, y) > 0$ に対応し、 $M^2 = 1$ (超音速) は、 $A(x, y) = 0$ に対応する。したがって、もし $x \rightarrow \infty$ で $y = 1$ となる解を求めるとすれば、それは $A(x, y) = 0$ となるとき、 $B(x, y) = 0$ となるときだけならばならぬ。これが超音速を定めた関係である。よって、 $A(x, y) = 0$ 、 $B(x, y) = 0$ で $y = 1$ となる fast solution は可能なものである。またこの条件が、よどみ点 $x = \infty$ 、 $y = 0$ での微係数を一意的に定め得る。図 3 にはそのようにして求めた数値解を示してある。

§ 6 解の漸近挙動

さて圧力効果を考慮した方程式 (4.4) の解の漸近形を求める

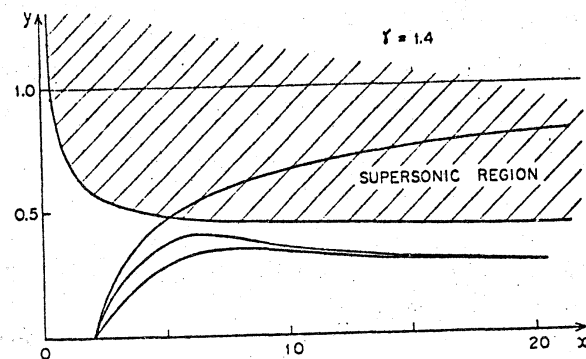


Figure 2. Numerical solutions of the equation of line accretion with $\gamma = 1.4$, $\alpha = 2$. The unique supersonic solution starts at $x = \alpha$ with $dy/dx = 1.75\alpha^{-2}$ and the sonic transition occurs at $x = 5.13$. Two of the subsonic solutions are also shown.

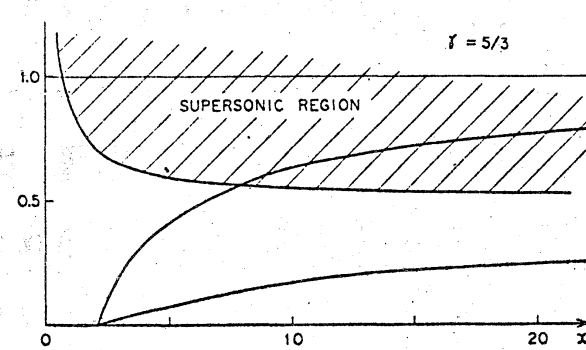


Figure 1. Numerical solutions of the equation of line accretion with $\gamma = 5/3$. The solution which undergoes sonic transition is such that $dy/dx = 1.07\alpha^{-2}$ at $x = \alpha$ ($\alpha = 2$). The sonic transition occurs at $x = 7.73$. One intermediate (subsonic) solution is also shown.

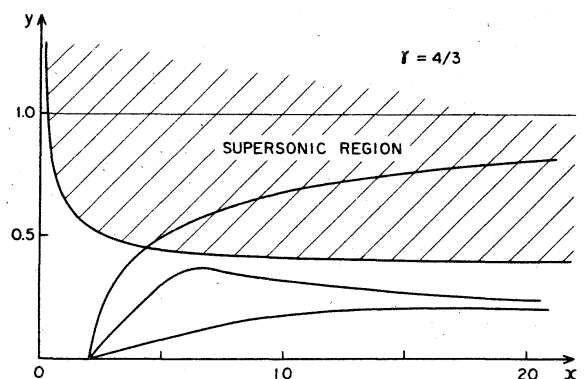


Figure 3. Numerical solutions of the equation of line accretion with $\alpha = 2$, $\gamma = 4/3$. The supersonic (fast) solution starts at $x = \alpha$ with $dy/dx = 4.40\alpha^{-2}$ and the sonic transition occurs at $x = 4.42$. Two of the subsonic solutions are also shown.

3 問題を考える。 (3.1) を代入して, y_0, y_1, \dots を求めると
 $\gamma > 1$ の可能性 $y_0 = 1$ (fast solution), $y_0 = (\gamma - 1) / (\gamma + 1)$
 (intermediate solution), $y_1 + \dots + y_n = 0$ があることが分かる。
 しかし $y_0 = 0$ は、実は静止解 [$y = 0$ for all x] に対応し
 物理的に意味がないので、除く。 $y_0 = 1$ の解は既に前節で
 求めた。残る可能性は $y_0 = (\gamma - 1) / (\gamma + 1)$ である。ここで形
 式的に $\gamma \rightarrow 1$ をすれば、Lyttleton の slow solution が得られる
 である。さて $y_0 = (\gamma - 1) / (\gamma + 1)$ は、 $A(x, y) < 0$ の領域にある
 ように、これは亞音速解である。図 3 には、いくつもの
 解を示してある。ここで注意すべきことは、 $x=2, y=0$ での
 微係数の値は任意であるから、 ∞ 個の解が存在し得ることで
 ある。

以上を要約すれば、アクリション流の中の圧力を考慮して
 も、 $x \rightarrow \infty$ の解の挙動は一意的に決定まるず、 $y_0 = 1$ と
 $y_0 = (\gamma - 1) / (\gamma + 1)$ の二つの可能性があるのがある。前者は
 遠音速解の、解の連續性の要請から一意的に定まるが、後
 者については、 ∞ 個の任意性が残る。

5.7 流体力学的取扱い

ここで述べた方法では、アクリション・コライに到達す
 る迄の気体の運動は、ニュートン近似で扱つた。これはマッ

ハ数が $10 \sim 100$ であるという事情を考慮することを、良い近似であると考えよい。

しかし、銀河或銀河集團（クラスター）の中にゐる氣体中を運動するとき、氣体の温度は $10^6 \sim 10^7$ K であり、他方相対速度は 100 km s^{-1} のオーダーである。したがつて、マッハ数は 1 前後である。ある場合には超音速、ある場合には亞音速である。この場合には、ニエートン近似が必ずしも成立しているのである。それで Hunt (1971) は、流れをすべての状態を流体力学的に取扱つた。そのモデルは、上流では氣体が一杯の速度 V_∞ をもつ。座標の原点に質量 M の質点がある。その質点は、直前に λ 気体をすべて吸収してしまうようである。下流では氣体、流れは、再び一杯流（速度 V_∞ ）にさどしたものと仮定していい。こうして、Bondi-Hoyle の fast solution に対応するものである。

Hunt は Lax-Wendroff の差分スキームを用いて、任意に選んだ初期条件から出発して、最終的な定常状態を求めた。その一例を図 1 に示してある。これから分子では、まず上流で M_∞ が 1 より大きければ、 M の前面に shock wave がでる。 M を通す直線上では、流れは亞音速となるが、 M に近づくにつれて超音速となる。よどみ点より後では亞音速となるが、下流では再び超音速となる。

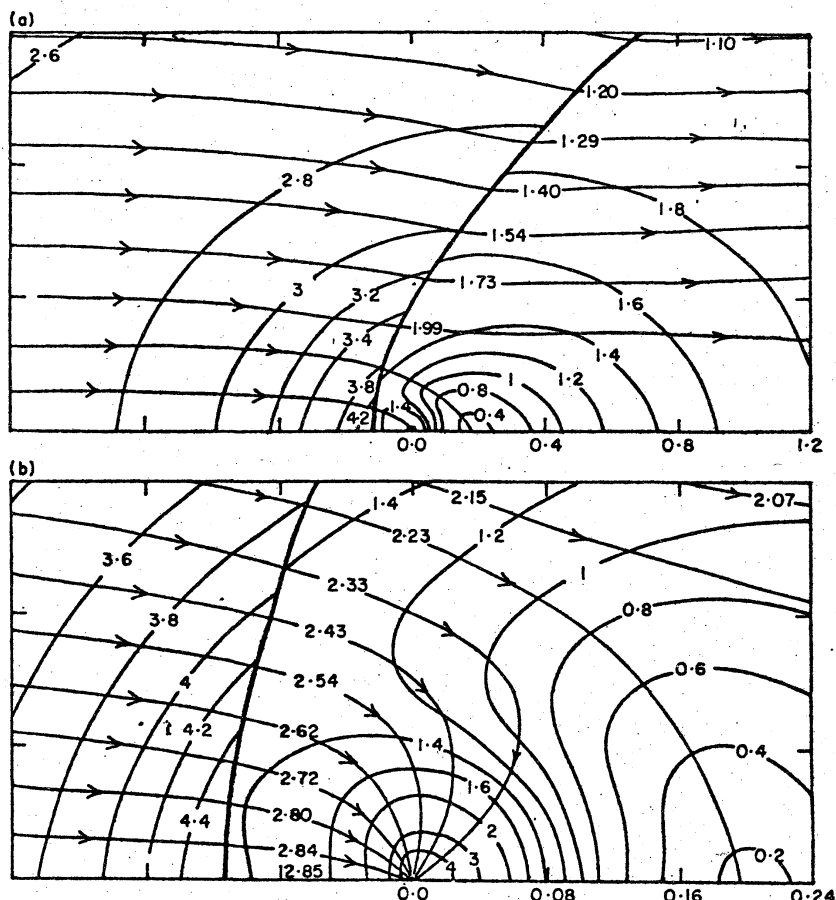


FIG. 6. Velocity magnitude contours and streamlines at Mach speed 2.4.

図 4

§ 8 よどみ束の決定

さて、線アクリションの構内では、よどみ束 $\alpha = \alpha$ が未定であることは指摘した。圧力を無視する限りにおいては、それは決定することは不可能であるが、前節で紹介した Hunt の結果を参考にすれば、 $\alpha = \alpha$ の組を決定でき。

そのためには、まずアクリレヨン流が下流では fast solution となり、そのため超音速となると仮定する。Hunt の解はそのような状況を示すものであるが、 M_∞ が $10 \sim 100$ と大きくなつても、その初期に変化はないとするのである。

もうすくれば、流れには二つの遷音速点があるとしている。一つはよどみ点の下流にあるものであり、他の一つはよどみ点と M の中间にあるもう一つである。 $\gamma = 3/2$ 、遷音速では、(4.14) 式に現れる $A(x, y)$ と $B(x, y)$ がともに 0 となるならばならない。云々換えれば、 γ の値を定めれば、二つの遷音速点 $(x_1, y_1), (x_2, y_2)$ の値は自動的に決まつてしまふ。かくて (x_1, y_1) と (x_2, y_2) から出発した解がよどみ点 $x = x_1$ に到達したとき、一般に $(dy/dx)_{y-}^+$ と $(dy/dx)_{y+}^-$ の値は異なつてゐる。このことはさういふ値が同一であることを要請する。そうすれば、 γ の値が一意的に定まる。この要請は $m(r)$ が $r = r_0$ (よどみ点) で連続であることを意味である。この方法で定まつた γ の値を結果として示せば次のようになつる。

表 1

γ	よどみ点 $x = x_1$ の値
5/3	2.09
1.4	1.90
4/3	1.85

§ 9 アクリション流による抵抗

アクリションにおいて、Bondi-Hoyle の fast solution が実現されても、あるいは intermediate solution が実現されても、
“この場合にも質点 M は抵抗が働く。またはつまり
に物理的には説明でき。常

完全な定状態におけるアクリション・コラムに到達する迄の気体分子は、全体としては M に何らの力を及ぼさない。
このことは質点力学を用いて簡単に示すことができる。ところが、アクリション・コラムは密度の高い部分であり、したがって引力の源となる。云うれば、 M の後方に細い棒がくっついているようなものであり、それが M を引つける。同じ結果は適当な試験面を考えて、そこへ流入する運動量と流出する運動量を計算しても得られるはずである。

上の考察から、 (r_0, γ) にあるコラムの M に及ぼす引力の大きさは

$$F = \int_{r_0}^{\gamma} \frac{GMm}{r^2} dr \quad (9.1)$$

である。

さて、 $m(r)$ は “この場合にも $r \rightarrow \infty$ で $\gamma = 4\pi R^2 \rho / 3$ の”、形式的に上の積分は $r \rightarrow \infty$ のときに発散する。Bondi & Hoyle は、cut-off する長さとして星間距離をとった。まず

(2.3)において $\gamma \rightarrow \infty$ のとき $U \rightarrow V_\infty$ と仮定すれば、

$$m \propto A \gamma V_\infty^{-1}$$

であるから、積分 (9.1) は近似的に

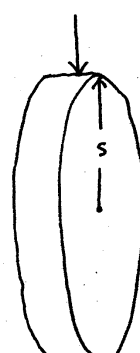
$$F = \int^r \frac{GM A V_\infty^{-1}}{\gamma} dr = \frac{AGM}{V_\infty} \log r \quad (9.2)$$

となる。上に述べた理由から、Bondi & Hoyle は $\log r$ の値が (5, 15) の間にあらわしたのである。

さてこの計算には、一つのあたりさが残つてしまふ。それは星間距離といふ、アカリション現象とは関係のない量である。もし無限に広いガス雲の中に星がただ一つあれば、それに作用する強度は無限大となつて、到底容認し得ないのである。ところが、アカリション流中の中の圧力を考慮すれば、コラムが無限にならなければそれが分かる。

§ 10 cut-off distance の決定

いまコラムの断面が図のようであるとして、コラム内で圧力のバランスを考える。コラムの中での圧力をやとうれば、 $f = \pi s^2 p$ である。地方、アカリションによって、矢印の方向に運動量の流入がある。この圧力と、運動量の流入がバランス



コラムの断面

ンスを満たすという条件から、Hoyle & Bondiは

$$\frac{A}{2\pi s} (2GM\gamma^{-1})^{1/2} = \phi \quad (10.1)$$

という関係を導いた。

さて、流れの速度比がγの函数として得らねば、ベルヌイの式と質量保存の式から、fとyの漸近形が得られる。実際 fast solution においては、漸近的に

$$f \sim \frac{1}{4\gamma} \cdot \frac{AGM}{V_\infty}, \quad \phi \sim \frac{4\gamma}{x} \cdot P_\infty V_\infty^2 \quad (10.2)$$

即ち、流れの中で気体は膨張し、コラムは太くなる。もしもが無限上流での压力やyにまで回復すれば、最早やコラムは消えてしまふことがわかる。よって cut-off を

$$P_\infty = \frac{4\gamma}{x_c} \cdot P_\infty V_\infty^2$$

で定義するのが自然である。この式は書き直せば、

$$x_c = 4\gamma^2 M_\infty^2 \quad (10.3)$$

intermediate solution, slow solution が実現された場合でも、同じ考え方によって x_c を決定できる。その値を (9.1) に代入すれば、抵抗力Fが計算できる。それは

$$F = \frac{AGM}{V_\infty} \beta \quad (10.4)$$

$$\beta_F \text{ (fast solution)} = 2 \log \gamma M_\infty.$$

$$\beta_Y \text{ (intermediate)} = \frac{\gamma+1}{\gamma-1} \left\{ \log M_\infty + \frac{1}{2} \log \frac{\gamma(\gamma+1)}{2} \right\}$$

$$\beta_L \text{ (slow solution)} = (2/5)^{1/2} M_\infty.$$

たとえば参考値に、 $M_\infty = 2 \times 10^{33} g$, $V_\infty = 10 \text{ km s}^{-1}$, $\mu = 2$ (水素分子), $\gamma = 1.4$ としたときの cut-off distance r_c はつきのようだ：

表 2 r_c の値 (天文単位)

T (絶対温度)	$C_\infty (\text{m s}^{-1})$	r_c (fast)	inter	slow
25	381	4.8×10^4	303	180
50	539	2.4×10^4	214	124
100	763	1.2×10^4	151	89

ここで T はガスの温度である。例えば $T = 100 \text{ K}$ の場合、 $M_\infty = 13$ であつて、エュートン近似が良い近似であると言えよう。

§11 天体現象への応用

以上で、線アクリションの仮定の下で解析できたことはほぼしたつもりであり、残るのは流れの安定性の吟味である。一応、現象の解析はこれで終り、どういった現象に適用されるかについて、簡単な紹介を試みる：とくに

(i) 氷河期 地球の氷河期は、太陽系が星間ガスの突入

る際に起こるところが Hoyle-Lyttleton のもともとの議論の出発点であった。シニボンによれば、地上での氷河期のためには太陽、発熱量の増加が必要なのである。これは一見奇妙に聞こえるが、氷河期では海洋の大量の水分が陸上にある状態を指すのであり、そのためには降雨量の増加が必要条件を考慮するのがレンボンである。このアーティアによれば、アリートされた星間ガスは太陽に落ち込もうが、その際に持つ $10^3 \text{ H}_2 \text{ cm}^{-3}$ のガスに $V_\infty = 1 \text{ km s}^{-1}$ の速度で吹きぬけ、かわりの太陽発熱量の増加があるのである。

(ii) ベテルギュース星のジェット流

ベテルギュースにはジェット流が見らえたが、これは星から噴射されていくのではなく、アクリレヨン流などのものを見ていくのがむしろいいと考え成立つ。

(iii) 我が銀河のアケリシヨン Oort の観測によれば、高速のガス雲が銀河面に落ちて来ており、これは銀河内に残されていくガスを、我が銀河がアリートしてしまったものと解釈される。

(iv) 銀河集団内ガスの加熱 集団(クラスター)とは銀河が数百から数千集つた集団であるが、この集団内から 10^6 K の温度に対応するX線が放出されてくる。このことか

る、クラスター内のガスは $10^6 \sim 10^7$ K の温度にあると考えられるが、もし熱源がないならば、 10^6 年もたてば冷却してしまう筈である。そのようなガスは銀河とガスの相互作用によって、絶えず加熱されていくところであるが Spiegel (1970) の考え方である。既に見たように、MにはFの抵抗が付くから、この力がある仕事を毎秒 $F \cdot V$ であり、このエネルギーが実はガスの加熱に用いられる。こうしてクラスター内のガスは高温に保たれ、それが観測された X線を生む。

参考文献

- Bondi, H. and Hoyle, F., 1944. Mon. Not. R. Astr. Soc., 104, 273.
 Hoyle, F. and Lyttleton, R.A., 1939. Proc. Cambridge Phil. Soc., 35, 405.
 Hunt, R., 1971. Mon. Not. R. Astr. Soc., 154, 141.
 Lyttleton, R.A., 1972. Mon. Not. R. Astr. Soc., 160, 255.
 Spiegel, E.A., 1970. Interstellar Gas Dynamics, edited by Habing, IAU symposium.